



КОРОНАРНЫЙ СТЕНТ
НА СИСТЕМЕ ДОСТАВКИ
БЫСТРОЙ ЗАМЕНЫ

GAZELLE®

Доставит, куда вы хотите

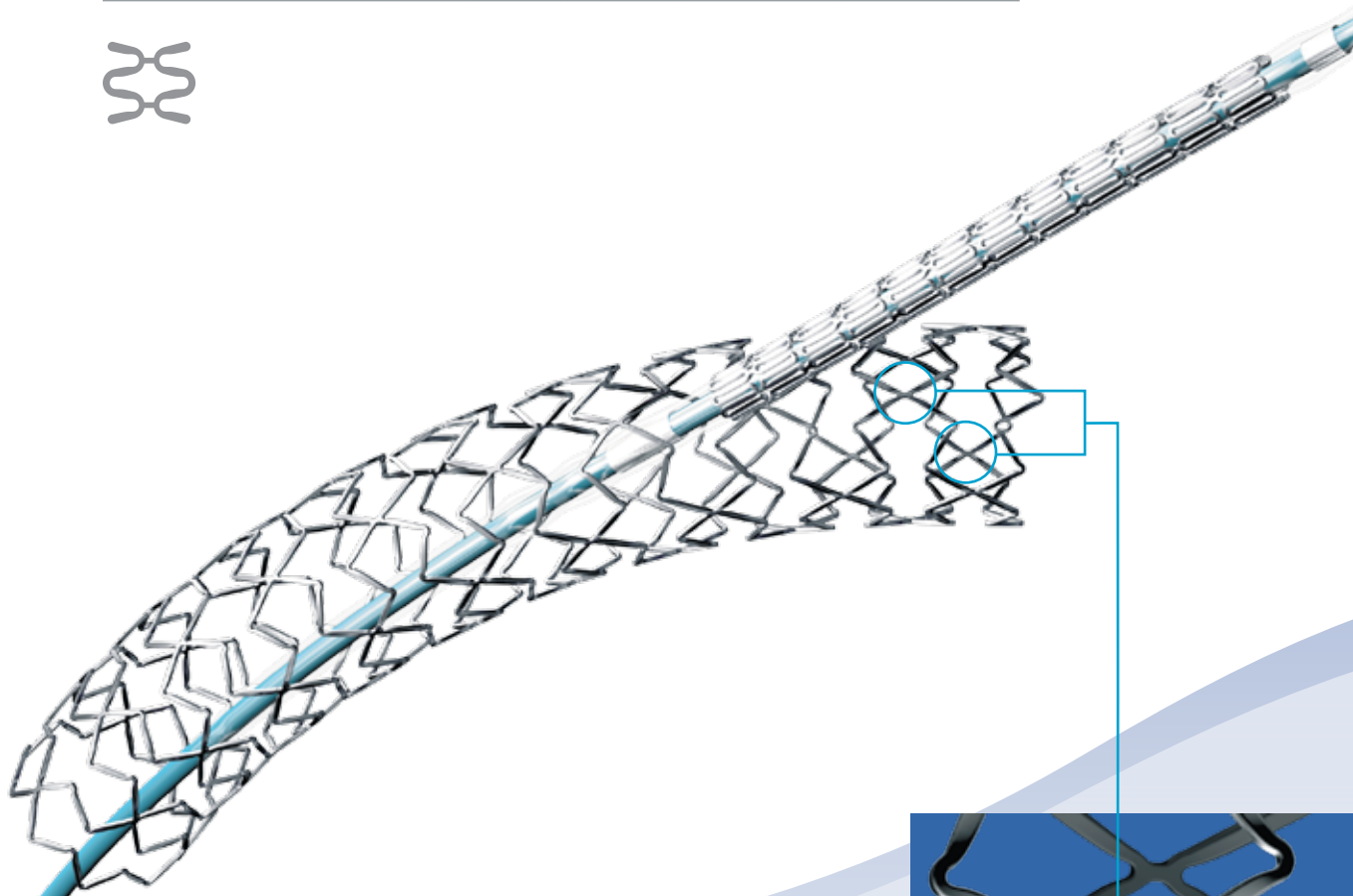
ГИБКОСТЬ – ПРОХОДИМОСТЬ – ПРОВОДИМОСТЬ – ГИБКОСТЬ – ПРОХОДИМОСТЬ

GAZELLE®

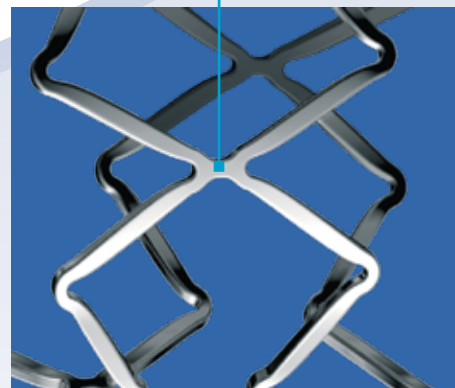
Проверенные характеристики платформы S-Stent на системе доставки нового поколения, которая обеспечивает хорошее прохождение через извитые сосуды и пересечение плотных стенозов.

Ключевые характеристики и преимущества

| | |
|---|---|
| Открытый структура ячейки Quadrature link™ | Отличный доступ в боковые ветви Высокая гибкость |
| Низкий профиль стента | Хорошая проходимость |
| Новое гидрофильное покрытие Усовершенствованный материал баллона | Отличная доставляемость |



Quadrature link
 Два коннектора между коронками,
 которые коаксиально ротируются
 на 90° между соседними коронками



Система доставки Tiger™

Ключевые характеристики и преимущества

| | |
|--|---|
| Мягкий материал и множественное складывание баллона обеспечивают низкий профиль и равномерное расправление | Улучшенная проходимость и проводимость |
| Гидрофильное покрытие W-II | Улучшенная проходимость через извитые сосуды |
| Наличие маркеров | Улучшенная визуализация позиционирования стента |
| Дизайн «Сужающийся усиленный стилет» | Превосходная сопротивляемость перегибам |

Клинические данные

Многоцентровое исследование эффективности и безопасности S-Stent

Многоцентровое проспективное исследование, проходящее в 7 центрах.

Число пациентов – 120.

Основной критерий оценки: частота развития основных тяжелых сердечно-сосудистых осложнений через 30 дней после имплантации стента.

Дополнительный критерий оценки: непосредственный и долгосрочный ангиографический результат после имплантации S-Stent.

Результаты:

Частота развития основных сердечно-сосудистых событий через 6 месяцев: 1,68%.

Частота рестеноза через 6 месяцев по данным ангиографии: 16,5%

Реваскуляризация целевого поражения через 6 месяцев: 10%.

Развертывание стента было успешным в 100% случаев.

Заключение:

S-Stent характеризуется равномерным развертыванием и отличной доставляемостью.

Клиническое исследование BSI S-866 Stent

Нерандомизированное проспективное исследование, проходящее в 2 центрах.

Число пациентов – 105.

Основной критерий оценки: поздняя утрата просвета стента через 6 месяцев, бинарный рестеноз через 6 месяцев, частота развития основных сердечно-сосудистых событий через 6 месяцев после имплантации стента.

Результаты:

Частота развития основных сердечно-сосудистых событий через 30 дней: 0,0%.

Частота развития основных сердечно-сосудистых событий через 6 месяцев: 5,7%.

Бинарный рестеноз через 6 месяцев: 10,9%

Поздняя утрата стента через 6 месяцев: 29,5%

Заключение: S-Stent продемонстрировал безопасность и эффективность через 6 месяцев после имплантации стента.



¹ Данные подразделения Biosensors International (США)

Техническая информация

Система доставки стента

| | |
|--|---|
| Конструкция | Катетер быстрой замены |
| Эффективная длина катетера | 142 см |
| Дизайн проксимальной части катетера | Гипотьюб |
| Покрытие проксимальной части катетера | Политетрафторэтилен |
| Профиль проксимальной части катетера | 2,0 F / 0,0265" / 0,67 мм |
| Положение меток на катетере | 90 и 100 см от кончика |
| Профиль дистальной части катетера (3,0 мм) | 2,6 F / 0,034" / 0,86 мм |
| Профиль части, вводимой в пораженный участок | 0,018" / 0,46 мм |
| Материал баллона | Ревак (Пебакс) |
| Степень податливости материала баллона | Средняя |
| Свертывание баллона | Трехкратное |
| Конус баллона | 30 градусов |
| Рентгенопозитивные метки | 2 штампованные платиново-иридиевые маркерные полосы |
| Длина меток баллона | 1 мм |
| Номинальное давление | 6 атм (608 кПа) |
| Расчетное давление разрыва | 16 атм (1621 кПа) 2,25-3,25 мм |
| 14 атм (1418 кПа) | 3,50-4,00 мм |
| Совместимость с проводниковым катетером | 5 F (мин. внутренний диаметр 0,055") / 1,40 мм |
| Совместимость с коронарным проводником | 0,014" / 0,36 мм |
| Гидрофильное покрытие | Покрытие W-II |

Стент

| | |
|---|---|
| Материал стента | Нержавеющая сталь марки 316 L |
| Платформа стента | S-Stent™ |
| Дизайн коронки | Гофрированное кольцо |
| Дизайн ячейки | Quadrature Link™ |
| Толщина сетки | 0,0047" / 0,12 мм |
| Длина коронки | 1,2 мм (6-венечная модель) и 1,0 мм (9-венечная модель) |
| Венцы стента | 6 венцов (2,25-3,25 мм); 9 венцов (3,5-4,00 мм) |
| Профиль прохождения трудных участков (3,0 мм) | 0,042" / 1,07 мм |
| Гибкость | Очень хорошая |
| Рентгенопозитивность | Хорошая * |
| Ферромагнетизм | Неферромагнитный (безопасен при МРТ) |
| Диаметр открытых ячеек (для стента диаметром 3,0 мм) | 1,47 мм* |
| Укорочение | -0.7%* |
| Эластический рекойл (степень сокращения после раздувания) | 3.67%* |
| Радиальная устойчивойсть | > 1,50 бар* |

* Schmidt W. et al., A comparison of the mechanical performance characteristics of seven drug-eluting stent systems; CCI 2009 73:350-360 10712

Информация для заказа

| Диаметр стента (мм) | Длина стента (мм) | | | | | | |
|---------------------|-------------------|----------|----------|----------|----------|----------|----------|
| | 8 | 11 | 14 | 18 | 23 | 24 | 28 |
| 2,25 | GAZ-2208 | GAZ-2211 | GAZ-2214 | GAZ-2518 | NA | GAZ-2224 | GAZ-2228 |
| 2,50 | GAZ-2508 | GAZ-2511 | GAZ-2514 | GAZ-2518 | NA | GAZ-2524 | GAZ-2528 |
| 2,75 | GAZ-2708 | GAZ-2711 | GAZ-2714 | GAZ-2718 | NA | GAZ-2724 | GAZ-2728 |
| 3,00 | GAZ-3008 | GAZ-3011 | GAZ-3014 | GAZ-3018 | NA | GAZ-3024 | GAZ-3028 |
| 3,25 | GAZ-3208 | GAZ-3211 | GAZ-3214 | GAZ-3218 | NA | GAZ-3224 | GAZ-3228 |
| 3,50 | GAZ-3508 | GAZ-3511 | GAZ-3514 | GAZ-3518 | GAZ-3523 | NA | GAZ-3528 |
| 4,00 | GAZ-4008 | GAZ-4011 | GAZ-4014 | GAZ-4018 | GAZ-4023 | NA | GAZ-4028 |

CE
0044